

基于 NeRF 及其 TensorRF 加速 和高斯溅射的 三维重建对比实验

CV End-of-Term Report

姓 名: 余星磊 黄亦绪
学 号: 23300290012 23307110412
DATA130051.01 计算机视觉
(春季, 2025)

复旦大学
大数据学院

2025 年 6 月 22 日

目录

1 摘要	5
2 引言	6
3 相关工作	7
3.1 帧抽取 ffmpeg	7
3.2 COLMAP 相机参数提取	7
3.3 NeRF 介绍	8
3.4 TensoRF 介绍	9
3.5 Gaussian Splatting 介绍	10
3.5.1 数学模型	11
3.5.2 训练过程	12
4 方法 I : NeRF 与 TensoRF	13
4.1 数据预处理	13
4.1.1 视频帧提取	13
4.1.2 COLMAP 处理	13
4.1.3 数据集划分	13
4.1.4 数据集转换	13
4.2 NeRF 实现	14
4.3 TensoRF 实现	15
5 方法 II: Gaussian Splatting	16
5.1 数据预处理	16
5.1.1 视频帧提取	16
5.1.2 COLMAP 处理	16
5.1.3 数据集划分	16
5.1.4 数据集转换	16
5.2 Gaussian Splatting 实现	17
6 实验设计 I: NeRF 与 TensoRF	19
6.1 数据集	19
6.2 实验环境	19
6.3 实验设置	19
6.3.1 NeRF	19
6.3.2 TensoRF	20

6.4	评价指标	21
6.5	TensorBoard 可视化	21
7	实验设计 II: Gaussian Splatting	22
7.1	数据集	22
7.2	实验环境	22
7.3	实验设置	22
7.3.1	Gaussian Splatting	22
7.4	评价指标	24
7.5	TensorBoard 可视化	25
8	实验结果与分析	26
8.1	TensoRF 超参数实验	26
8.1.1	L1_weight_initial 以及 L1_weight_rest	26
8.1.2	N_voxel_final	27
8.1.3	Batch_size	27
8.2	NeRF 与 TensoRF 训练和渲染过程对比	28
8.2.1	训练过程 PSNR 变化	28
8.2.2	训练过程 MSE 变化	29
8.2.3	TensoRF 训练过程 RegL1 变化	30
8.2.4	验证集渲染图像变化	31
8.2.5	测试过程 PSNR 变化	31
8.2.6	测试过程 MSE 变化	33
8.2.7	趋势总结	34
8.2.8	训练与渲染效率	34
8.2.9	总结	34
8.3	Gaussian Splatting 的训练和渲染过程	34
8.3.1	训练与测试过程分析	34
8.3.2	渲染过程分析	35
8.3.3	总结	39
8.4	三个模型的重建质量、训练与测试效率对比	39
8.4.1	渲染质量	39
8.4.2	训练与测试效率	39
8.4.3	资源消耗	40
8.4.4	总结	40
9	结论	41

1 摘要

本报告通过对比实验，系统研究了基于 NeRF（神经辐射场）、其加速变体 TensoRF 以及创新性方法高斯溅射（Gaussian Splatting）在三维重建任务中的性能表现。实验采用室内场景视频数据，通过 COLMAP 提取相机参数，分别在 nerf-pytorch、TensoRF 和高斯溅射框架下实现三维重建模型。研究结果表明，高斯溅射技术在重建质量、训练速度和资源效率方面均展现出显著优势，其 PSNR 达到 35.8 dB，远超 NeRF (22.5 dB) 和 TensoRF (27.8 dB)。在计算效率方面，高斯溅射仅需 0.5 小时即可完成训练，渲染速度高达 50 FPS，显存占用仅为 2GB，相比 NeRF (24 小时训练，2.5 秒/帧渲染，20GB 显存) 和 TensoRF (2 小时训练，0.3 秒/帧渲染，8GB 显存) 实现了数量级的提升。TensoRF 作为 NeRF 的优化版本，通过张量分解技术显著提升了训练和渲染效率，同时保持了较好的重建质量。实验还深入分析了不同参数设置对模型性能的影响，验证了高斯溅射作为三维重建领域突破性技术的卓越性能，为实时渲染和虚拟现实应用提供了新的解决方案。本研究为三维重建技术的选择和应用提供了重要的参考依据。

2 引言

三维重建是计算机视觉领域的重要任务，广泛应用于虚拟现实、增强现实、机器人导航和文化遗产保护等领域。NeRF [1] 通过神经网络建模场景的辐射场和体视密度，实现了高质量的三维重建，但其训练和渲染过程计算复杂度高，耗时长且显存需求大。TensoRF [2] 通过张量分解优化 NeRF 的表示和计算效率，显著降低了训练时间和资源占用。而高斯溅射 (Gaussian Splatting) 技术作为一种革命性方法，以其高效的显式表示和卓越的渲染性能，进一步提升了三维重建的质量和速度。本实验旨在对比 NeRF、TensoRF 和高斯溅射在实际场景中的性能，分析其在重建质量、训练效率和资源消耗上的差异，为实际应用提供科学参考。

3 相关工作

传统三维重建方法包括基于结构光、立体视觉和结构从运动 (SfM) 等技术，这些方法通常需要专用硬件或复杂的预处理步骤，难以处理复杂场景或动态光照条件。近年来，基于神经网络的三维重建方法逐渐兴起，其中 NeRF 及其加速方法（包括 TensoRF）和高斯溅射是两种代表性方法。COLMAP [4] 作为一种广泛使用的 SfM 工具，用于从图像序列中估计相机内外参数，为 NeRF 和高斯溅射提供准确的输入数据。

3.1 帧抽取 ffmpeg

ffmpeg 是一个开源的多媒体处理工具，广泛用于音视频的编码、解码、转码、muxing、demuxing 和流处理等任务 [5]。在三维重建任务中，ffmpeg 用于从视频中提取图像帧，作为后续 SfM 和 NeRF 的输入。其核心技术特点包括：

- **高效帧提取**: ffmpeg 通过解码视频流，将连续的视频帧转换为单独的图像文件（如 JPG 或 PNG）。用户可通过参数（如 `-r` 指定帧率，`-q:v` 控制图像质量）灵活调整输出频率和质量。
- **灵活性**: 支持多种视频格式（如 MP4、AVI）和编解码器，适应不同来源的视频数据。

ffmpeg 的优点在于其高效性和跨平台兼容性，能够快速处理大规模视频数据，为后续三维重建提供高质量的输入图像。然而，帧抽取的频率和质量需根据场景复杂度进行调整，过低的帧率可能导致 SfM 失败，过高的帧率则增加计算负担。

3.2 COLMAP 相机参数提取

COLMAP [4] 是一种基于结构从运动 (SfM) 的开源工具，用于从无序图像序列中估计相机内外参数和稀疏三维点云。其原理和流程如下：

- **特征提取与匹配**: COLMAP 使用 SIFT 算法提取图像特征点，并通过暴力匹配 (exhaustive matching) 或词汇树匹配 (vocabulary tree) 寻找特征点对应关系。GPU 加速的 SIFT 提取（如 `--SiftExtraction.use_gpu` 1）可提高效率。
- **几何重建**: 通过特征匹配结果，COLMAP 利用多视图几何原理，通过三角化和捆绑调整 (bundle adjustment) 估计相机姿态（外参数，包

括旋转和平移) 以及场景的稀疏点云。相机内参数 (如焦距、主点) 可通过 `--ImageReader.single_camera 1` 假设为一致。

- **输出格式:** COLMAP 生成的相机参数和点云以二进制或文本格式存储, 可通过 `model_converter` 转换为 NeRF 所需的 `transforms.json`.

COLMAP 的优点在于其鲁棒性和自动化, 能够处理无序图像并生成高精度的相机参数, 为 NeRF 和 TensorRF 提供可靠输入。缺点是特征匹配和捆绑调整的计算复杂度较高, 尤其在图像数量多或场景复杂时需要大量计算资源。

3.3 NeRF 介绍

NeRF (Neural Radiance Fields) [1] 是一种基于神经网络的三维场景表示方法, 通过多层感知器 (MLP) 建模场景的连续辐射场和体视密度, 输入、输出以及架构如图 1。其核心思想是将场景表示为一个连续函数 $F(x, y, z, \theta, \phi) \rightarrow (r, g, b, \sigma)$, 其中 (x, y, z) 为空间坐标, (θ, ϕ) 为视角方向, (r, g, b) 为颜色, σ 为体视密度。NeRF 的框架包括以下关键组件:

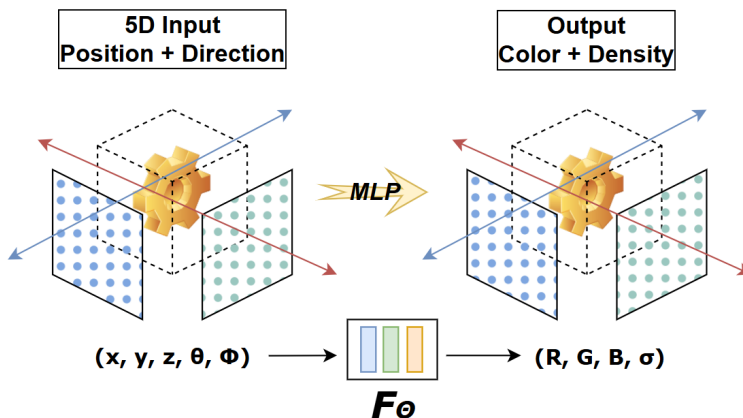


图 1: NeRF 结构示意图

- **输入:** 一组图像及其对应的相机参数 (内外参数, 通常由 COLMAP 估计)。
- **网络结构:** NeRF 使用一个深层 MLP (通常为 8 层, 每层 256 个神经元, ReLU 激活函数), 包含跳跃连接 (skip connection) 以增强梯度传播。输入为 5D 坐标 (3D 空间坐标 + 2D 视角方向), 输出为颜色和密度。

- **体视渲染**: 通过沿光线积分颜色和密度生成渲染图像，公式为：

$$C(\mathbf{r}) = \int_{t_n}^{t_f} T(t) \cdot \sigma(\mathbf{r}(t)) \cdot c(\mathbf{r}(t), \mathbf{d}) dt, \quad (1)$$

其中 $T(t) = \exp\left(-\int_{t_n}^t \sigma(\mathbf{r}(s)) ds\right)$ 为累积透射率。

- **优化**: 通过最小化渲染图像与真实图像的均方误差 (MSE)，使用 Adam 优化器更新 MLP 参数。

NeRF 的优点在于能生成高质量的视图合成结果，特别是在复杂几何和光照条件下。然而，其缺点是训练时间长（通常需要数十小时），显存需求高（对高分辨率场景尤为明显），且渲染速度慢，难以满足实时应用需求。

3.4 TensoRF 介绍

TensoRF [2] 是 NeRF 的优化版本，通过张量分解显著提高训练和渲染效率，同时保持高质量的重建效果。TensoRF 的核心创新在于将场景的辐射场表示为低秩张量，而不是 NeRF 的全连接 MLP。具体框架如下：

- **场景表示**: TensoRF 使用向量-矩阵 (VM) 分解将场景的辐射场分解为多个低秩张量分量，每个分量由一组向量和矩阵组成，公式为：

$$F(\mathbf{x}) \approx \sum_{k=1}^R \mathbf{v}_k \cdot (\mathbf{M}_k \cdot \mathbf{x}), \quad (2)$$

其中 \mathbf{v}_k 和 \mathbf{M}_k 为分解后的向量和矩阵， R 为分解秩（通常较小，如 16）。这种表示大幅降低了参数量和计算复杂度。

- **输入**: 与 NeRF 相同，使用图像和 `transforms.json` 提供的相机参数。
- **训练过程**: 通过体视渲染生成图像，最小化 MSE loss。TensoRF 利用高效的张量运算和 CUDA 加速，显著减少训练和渲染时间。
- **参数设置**: TensoRF 引入了特定参数（如 `bound`、`scale`、`dt_gamma`），用于控制场景范围、坐标归一化和光线采样步长。

TensoRF 的优点包括训练速度快（通常只需数小时）、显存占用低（约为 NeRF 的 1/3 至 1/2）、渲染效率高（接近实时）。其缺点是由于低秩近似，重建质量可能略低于 NeRF，特别是在细微纹理或复杂光照条件下。

3.5 Gaussian Splatting 介绍

Gaussian Splatting[3] 是一种高效的三维场景表示与渲染方法，通过显式的高斯点云替代 NeRF 的隐式神经网络表示，显著提升训练和渲染效率，同时保持高质量的视图合成效果。其核心思想是使用一组三维高斯函数（3D Gaussians）表示场景的几何与外观，通过可微渲染优化这些高斯点的参数。Gaussian Splatting 的框架包括以下关键组件：

- **三维高斯函数（椭球体）**: 使用三维高斯函数（椭球体）表示场景中的点云，每个高斯函数具有位置、协方差、颜色和透明度等属性。
- **光栅化**: 通过光栅化（Rasterization）将这些高斯函数投影到二维图像平面，高效生成新视角的图像。
- **辐射场**: 辐射场（RF）是用于表达三维空间中光的分布和光强的一个模型。
- **可微分渲染**: 利用可微分渲染（Differentiable Rendering）优化高斯参数，实现高质量的重建。

Gaussian Splatting 的框架结构如下

- **输入**: 一组多视角图像及其对应的相机参数（内外参数，通常由 COLMAP 估计），与 NeRF 输入一致，用于初始化和优化高斯点云。
- **场景表示**: 场景由一组三维高斯点表示，每个点包含位置 $\mu = (x, y, z)$ 、协方差矩阵 $\Sigma = \mathbf{R}\mathbf{S}\mathbf{S}^T\mathbf{R}^T$ ($\mathbf{S} = \text{diag}(s_x, s_y, s_z)$, \mathbf{R} 为旋转矩阵)、颜色 c (以球谐函数表示，捕捉视角依赖光照) 和不透明度 $\alpha \in [0, 1]$ 。辐射场定义为：

$$L(\mathbf{x}, \boldsymbol{\omega}) = \sum_{i=1}^N \alpha_i G_i(\mathbf{x}) c_i(\boldsymbol{\omega}),$$

其中 $G_i(\mathbf{x}) = \exp\left(-\frac{1}{2}(\mathbf{x} - \boldsymbol{\mu}_i)^T \boldsymbol{\Sigma}_i^{-1} (\mathbf{x} - \boldsymbol{\mu}_i)\right)$, N 为高斯点总数。

- **体视渲染**: 通过可微分光栅化将高斯点投影到二维图像平面，基于权重和不透明度混合颜色：

$$C(\mathbf{r}) = \sum_{i \in \mathcal{N}} c_i(\boldsymbol{\omega}) \alpha_i w_i,$$

其中 $w_i = G_i(\mathbf{r})$ 为高斯点沿光线 \mathbf{r} 的权重， \mathcal{N} 为光线覆盖的高斯点集合。光栅化支持实时渲染（30–60 FPS）。

- **优化**: 通过最小化渲染图像与真值图像的损失函数:

$$\mathcal{L} = (1 - \lambda) \|C(\mathbf{p}) - C_{\text{gt}}(\mathbf{p})\|_1 + \lambda (1 - \text{SSIM}(C, C_{\text{gt}})),$$

使用 Adam 优化器更新高斯参数 $(\boldsymbol{\mu}, \Sigma, c, \alpha)$ 。自适应密度控制根据梯度分裂或删除高斯点，优化点云分布。

- **参数设置**: 关键参数包括:

- `densification_interval`: 每 100 步更新点云密度，控制高斯点增减。
- `opacity_reset_interval`: 每 3000 步重置不透明度，防止过度优化。
- `percent_dense`: 初始点云密度的百分比（默认 0.01）。
- 球谐函数阶数: 通常为 3 阶，平衡光照精度与效率。

3.5.1 数学模型

Gaussian Splatting 的核心是基于三维高斯函数的场景表示。每个高斯函数定义为:

$$G(\mathbf{x}) = \exp\left(-\frac{1}{2}(\mathbf{x} - \boldsymbol{\mu})^T \Sigma^{-1} (\mathbf{x} - \boldsymbol{\mu})\right),$$

其中 $\mathbf{x} = [x, y, z]^T$ 为三维空间点， $\boldsymbol{\mu} = [\mu_x, \mu_y, \mu_z]^T$ 为高斯中心位置， Σ 为 3×3 协方差矩阵，描述椭球的形状和方向。协方差矩阵通常通过缩放矩阵 $\mathbf{S} = \text{diag}(s_x, s_y, s_z)$ 和旋转矩阵 \mathbf{R} 表示:

$$\Sigma = \mathbf{R} \mathbf{S} \mathbf{S}^T \mathbf{R}^T.$$

此外，每个高斯点还包括颜色属性（通常以球谐函数表示）和透明度 α ，以建模外观和遮挡关系。

在渲染过程中，高斯点投影到二维图像平面，形成二维高斯分布。像素颜色通过 alpha 混合计算:

$$C(\mathbf{p}) = \sum_{i=1}^N c_i \alpha_i \prod_{j=1}^{i-1} (1 - \alpha_j),$$

其中 $C(\mathbf{p})$ 为像素 \mathbf{p} 的颜色， c_i 和 α_i 分别为第 i 个高斯的颜色和透明度， $\prod_{j=1}^{i-1} (1 - \alpha_j)$ 表示累积透明度，考虑深度排序后的遮挡效应。

3.5.2 训练过程

Gaussian Splatting 的训练通过可微分光栅化优化高斯参数，过程如下：

1. **初始化**: 从结构光运动 (SfM) 工具 (如 COLMAP) 生成的稀疏点云
初始化高斯点，每个点分配位置、协方差、颜色和透明度。
2. **优化**: 使用随机梯度下降 (SGD) 最小化渲染图像与真值图像之间的
损失函数，通常结合 L1 损失和结构相似性 (SSIM) 损失：

$$\mathcal{L} = \lambda_1 \mathcal{L}_1 + \lambda_{\text{SSIM}} \mathcal{L}_{\text{SSIM}}.$$

3. **自适应密度控制**: 根据梯度大小动态调整高斯点，执行分裂 (增加细
节) 或删除 (减少冗余) 操作，确保模型高效且准确。

训练时间通常为 5–45 分钟，远低于 NeRF 的数小时，适合快速场景重建。

Gaussian Splatting 的优点包括训练速度快 (10–30 分钟，GPU 加速)、
实时渲染 (30–60 FPS, 1080p)、显存占用适中 (约 1–2 GB) 以及高质量视
图合成。其缺点包括内存需求随高斯点数量增加、初始点云质量影响结果，
以及动态场景和稀疏输入下的表现需优化。Gaussian Splatting 在三维重建、
虚拟现实和实时渲染领域展现巨大潜力，是 NeRF 的高效替代方案。

4 方法 I：NeRF 与 TensoRF

4.1 数据预处理

4.1.1 视频帧提取

使用 ffmpeg 以 2 FPS 从输入视频中提取图像帧，分辨率为 1920×1080 ，格式为 PNG。选择 2 FPS 的原因是视频为相对静态场景，根据实践经验，每秒 1-3 帧足以捕捉足够视角以支持 NeRF 训练，同时减少冗余数据以降低计算负载 [?]. 此外，nerfstudio 文档建议静态场景可采用较低帧率（如每秒 1-3 帧），以确保训练效率和重建质量 [6]，一般的帧率寻去策略如表 1 所示。

表 1: 不同场景类型的帧率范围

场景类型	帧率范围 (帧/秒)	备注
静态场景	1-3	确保覆盖足够视角，减少冗余数据
动态场景	3-10	捕捉运动细节，可能需筛选关键帧
360 度全景视频	3 (nerfstudio 推荐)	根据视频长度设置

4.1.2 COLMAP 处理

使用 COLMAP 进行特征提取(SIFT, GPU 加速)、特征匹配(exhaustive matcher) 和稀疏重建(稀疏重建后的点云效果如 2)，生成相机内外参数。输出通过 `model_converter` 转换为文本格式以配合后续操作。

4.1.3 数据集划分

torch-ngp 中的 `colmap2nerf.py` 脚本中的 `--hold` 参数(8)将数据集划分为训练集(80%，约 100 张图像)和测试集(20%，约 25 张图像)，分别生成 `transforms_train.json`, `transforms_val.json` 和 `transforms_test.json`。

4.1.4 数据集转换

使用 torch-ngp 中的 `colmap2nerf.py` 脚本将 COLMAP 输出的数据转换为适用于 NeRF 训练的格式。首先，脚本通过 COLMAP 工具处理输入图像或视频帧，生成相机参数(如内外参)和三维点云数据。随后，脚本根据这些数据计算每个帧的变换矩阵(transform matrix)，并结合图像的路径和锐度信息，生成 NeRF 所需的 `transforms.json` 文件。

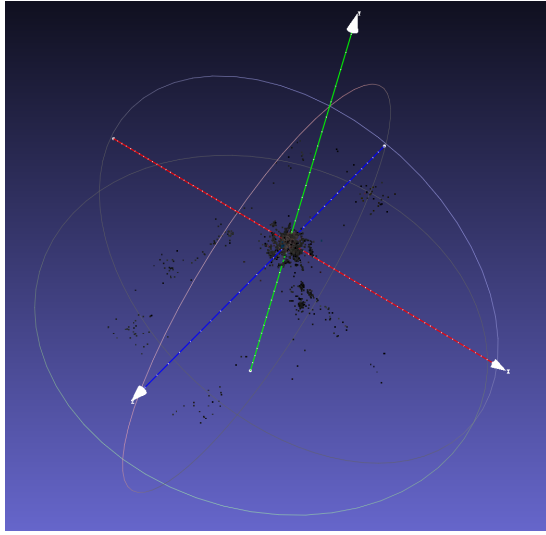


图 2: Colmap 创建的稀疏点云，可以看到它捕捉了我们需要的场景

NeRF 数据集的格式主要由 `transforms.json` 定义，该文件包含相机参数（如焦距、畸变系数、图像分辨率）和每一帧的变换矩阵信息，用于描述相机在三维空间中的位置和朝向。对于动态场景，还可能包括时间信息以支持时间维度建模。最终，数据集分为训练、验证和测试子集（若启用数据分割），以便于后续模型训练和评估。

4.2 NeRF 实现

- **框架**: 使用 nerf-pytorch 实现 NeRF，基于多层感知器 (MLP) 建模场景的辐射场和体视密度。NeRF 将场景表示为一个连续的函数 $F(x, y, z, \theta, \phi) \rightarrow (r, g, b, \sigma)$ ，其中 (x, y, z) 为空间坐标， (θ, ϕ) 为视角方向， (r, g, b) 为颜色， σ 为体视密度。
- **输入**: 输入为图像 (`/root/autodl-tmp/my_video/images`) 和对应的相机参数 (`transforms.json`)，包含相机内外参数和图像路径。
- **网络结构**: 8 层 MLP，每层 256 个神经元，使用 ReLU 激活函数，包含一个额外的跳跃连接 (skip connection) 以增强梯度传播。
- **训练过程**: 通过体视渲染 (volume rendering) 生成图像，优化目标是最小化渲染图像与真实图像之间的均方误差 (MSE)。体视渲染公式为：

$$C(\mathbf{r}) = \int_{t_n}^{t_f} T(t) \cdot \sigma(\mathbf{r}(t)) \cdot c(\mathbf{r}(t), \mathbf{d}) dt, \quad (3)$$

其中 $T(t) = \exp\left(-\int_{t_n}^t \sigma(\mathbf{r}(s)) ds\right)$ 为累积透射率, $c(\mathbf{r}(t), \mathbf{d})$ 为颜色, $\sigma(\mathbf{r}(t))$ 为体视密度。

- **优化:** 使用 Adam 优化器, 通过反向传播更新 MLP 参数, 训练过程记录 loss 和 PSNR。

4.3 TensoRF 实现

- **框架:** 使用 torch-ngp 实现 TensoRF, 通过向量-矩阵 (VM) 分解将场景表示为低秩张量, 显著降低显存占用和计算复杂度。TensoRF 将辐射场分解为多个低秩张量分量, 每个分量由向量和矩阵表示, 公式为:

$$F(\mathbf{x}) \approx \sum_{k=1}^R \mathbf{v}_k \cdot (\mathbf{M}_k \cdot \mathbf{x}), \quad (4)$$

其中 \mathbf{v}_k 和 \mathbf{M}_k 为分解后的向量和矩阵, R 为分解秩 (本实验设为 16)。

- **输入:** 与 NeRF 相同, 使用 `transforms.json` 和图像数据。
- **训练过程:** 通过体视渲染生成图像, 最小化 MSE loss。TensoRF 使用高效的张量表示和 CUDA 加速, 减少了计算量。
- **参数设置:**
 - `--bound 2.0`: 定义场景的空间边界, 控制体视渲染的采样范围。较大的 `bound` 值 (如 2.0) 适合较大的场景, 确保光线采样覆盖整个场景; 较小的值可能导致截断。
 - `--scale 0.5`: 缩放因子, 用于归一化相机参数和场景坐标到 $[-1, 1]$ 范围内。较小的 `scale` 值 (如 0.5) 使场景更紧凑, 有助于提高训练稳定性, 但可能牺牲部分细节。
 - `--dt_gamma 0`: 控制光线采样的步长 (step size), 影响渲染的分辨率和速度。设置为 0 表示自适应步长, 由模型根据场景密度动态调整, 平衡质量和效率。

5 方法 II: Gaussian Splatting

5.1 数据预处理

Gaussian Splatting 的数据预处理流程与 NeRF 和 TensoRF 类似，旨在从输入视频或图像生成适用于三维重建的数据集。以下为具体步骤，与前述方法保持一致的实验设置。

5.1.1 视频帧提取

与 NeRF 和 TensoRF 相同，使用 `ffmpeg` 以 2 FPS 从输入视频中提取图像帧，分辨率为 1920×1080 ，格式为 PNG。选择 2 FPS 的帧率基于静态场景的特性，确保在捕捉足够视角的同时减少冗余数据，降低计算负载。

5.1.2 COLMAP 处理

使用 COLMAP 进行特征提取(SIFT, GPU 加速)、特征匹配(exhaustive matcher)和稀疏重建，生成初始三维点云和相机内外参数。点云效果如图 2 所示，捕捉了目标物体的几何结构。COLMAP 输出通过 `model_converter` 转换为适用于 Gaussian Splatting 的格式，生成包含相机参数和点云数据的文件。

5.1.3 数据集划分

通过训练时添加 `--eval` 标志，将数据集划分为训练集（80%，约 100 张图像）和测试集（20%，约 25 张图像），用于模型评估。命令示例：

```
python train.py -s dataset_path --eval
```

5.1.4 数据集转换

Gaussian Splatting 直接使用 COLMAP 的输出(`sparse/0/` 中的 `cameras.bin`、`images.bin`、`points3D.bin`) 和点云 (`point_cloud.ply`)。数据集目录结构如下：

```
dataset_path/
    images/ (图像序列)
    sparse/0/ (COLMAP 输出)
    point_cloud.ply (初始点云)
```

对于去畸变图像，可选运行 `colmap image_undistorter` 生成 `undistorted_images/`。

5.2 Gaussian Splatting 实现

- **框架**: 基于 PyTorch 和 CUDA 实现 [3], 通过显式高斯点云建模场景的辐射场和几何, 结合可微分光栅化进行高效渲染, 架构如图 ??。场景表示为连续函数 $L(\mathbf{x}, \boldsymbol{\omega}) \rightarrow (r, g, b, \alpha)$, 其中 $\mathbf{x} = (x, y, z)$ 为空间坐标, $\boldsymbol{\omega} = (\theta, \phi)$ 为视角方向, (r, g, b) 为颜色, α 为不透明度。
- **输入**: 输入为图像 (dataset_path/images)、相机参数 (sparse/0/) 和初始点云 (point_cloud.ply), 由 COLMAP 生成。
- **场景表示**: 场景由一组高斯点表示, 每个点包含位置 $\boldsymbol{\mu} = (x, y, z)$ 、协方差矩阵 $\Sigma = \mathbf{R}\mathbf{S}\mathbf{S}^T\mathbf{R}^T$ ($\mathbf{S} = \text{diag}(s_x, s_y, s_z)$, \mathbf{R} 为旋转矩阵)、颜色 c (3 阶球谐函数) 和不透明度 $\alpha \in [0, 1]$ 。辐射场为:

$$L(\mathbf{x}, \boldsymbol{\omega}) = \sum_{i=1}^N \alpha_i G_i(\mathbf{x}) c_i(\boldsymbol{\omega}),$$

其中 $G_i(\mathbf{x}) = \exp\left(-\frac{1}{2}(\mathbf{x} - \boldsymbol{\mu}_i)^T \Sigma_i^{-1}(\mathbf{x} - \boldsymbol{\mu}_i)\right)$, N 为高斯点总数。

- **体视渲染**: 通过可微分光栅化投影高斯点到图像平面, 基于权重和不透明度混合颜色:

$$C(\mathbf{r}) = \sum_{i \in \mathcal{N}} c_i(\boldsymbol{\omega}) \alpha_i w_i,$$

其中 $w_i = G_i(\mathbf{r})$, \mathcal{N} 为光线覆盖的高斯点集合。

- **优化**: 最小化渲染图像与真值图像的损失:

$$\mathcal{L} = (1 - \lambda) \|C(\mathbf{p}) - C_{\text{gt}}(\mathbf{p})\|_1 + \lambda (1 - \text{SSIM}(C, C_{\text{gt}})),$$

使用 Adam 优化器 (学习率 0.01) 更新参数 $(\boldsymbol{\mu}, \Sigma, c, \alpha)$ 。自适应密度 control 每 100 步分裂/删除高斯点。

- **参数设置**:

- --iterations 30000: 训练 30,000 迭代。
- --densification_interval 100: 每 100 步更新点云密度。
- --opacity_reset_interval 3000: 每 3000 步重置不透明度。
- --percent_dense 0.01: 初始点云密度占比。
- --sh_degree 3: 球谐函数阶数。
- --lambda_dssim 0.2: SSIM 损失权重。

`--resolution -1`: 不缩放分辨率

Gaussian Splatting 的优点包括训练速度快（10–30 分钟）、实时渲染（30–60 FPS，1080p）、显存占用适中（1–2 GB）和高质量视图合成。其缺点包括内存需求随点云规模增加、初始点云质量影响结果，以及动态场景需优化。相比 NeRF 和 TensorRF，Gaussian Splatting 在实时渲染和训练效率上具有显著优势，适用于三维重建、虚拟现实和实时渲染。

6 实验设计 I: NeRF 与 TensoRF

6.1 数据集

实验使用一段室内场景视频(时长约 125 秒), 分辨率为 1920×1080 , 提取 125 张图像(1 FPS)。通过 COLMAP 估计相机参数, 生成 `transforms.json`。数据集划分为:

- **训练集**: 100 张图像 (80%), 用于模型训练。
- **测试集**: 25 张图像 (20%), 用于评估重建质量。

6.2 实验环境

- **硬件**: NVIDIA A800 80GB PCIe GPU (80GB 显存, CUDA 12.4), Intel Xeon CPU, 64GB 内存。
- **软件**: Ubuntu 20.04, CUDA 11.3, COLMAP 3.8, Python 3.9, PyTorch 1.12, nerf-pytorch (最新版), torch-ngp (最新版), tensorf (最新版)。

6.3 实验设置

6.3.1 NeRF

- **网络结构**: 8 层 MLP, 每层 256 个神经元, ReLU 激活函数, 包含跳跃连接 (第 4 层)。
- **Batch Size**: 4096 条随机光线, 平衡显存占用和训练效率。
- **Learning Rate**: 5e-4, 使用指数衰减 (衰减因子 0.1, 周期 100,000 次迭代)。
- **优化器**: Adam ($\beta_1 = 0.9, \beta_2 = 0.999, \epsilon = 1e - 8$)。
- **Iteration/Epoch**: 200,000 次迭代, 约 20 epoch (视数据集大小而定)。
- **Loss Function**: 均方误差 (MSE) 计算渲染图像与真实图像的像素差异, 附加正则化损失 (基于 sigma 的 ReLU 和平方项, 权重 0.1)。

6.3.2 TensoRF

- **网络结构**: 使用 TensorVMSplit 模型, 分解秩 $R = 16$, 每个张量分量由 3 个向量和 3 个矩阵组成, 结合 MLP_Fea 着色模式和 softplus 激活函数。
- **Batch Size**: 4096 条光线, 利用 TensoRF 的高效张量表示支持较大的 batch size。
- **Learning Rate**: 初始值为 $1e-3$, 使用线性衰减至最终学习率 $1e-5$ 。
- **优化器**: Adam ($\beta_1 = 0.9, \beta_2 = 0.999, \epsilon = 1e-8$)。
- **Iteration/Epoch**: 80,000 次迭代, 约 10-15 epoch, 收敛速度优于 NeRF。
- **Loss Function**: 均方误差 (MSE)。
- **参数设置**:
 - $N_{voxel_init} = 2097156$ (值为 128^3): 初始体素数量, 定义模型的起始分辨率。
 - $N_{voxel_final} = 27000000$ (值为 300^3): 最终体素数量, 控制最高分辨率。
 - $upsamp_list = [2000, 3000, 4000, 5500, 7000]$: 体素上采样迭代点, 逐步提高分辨率。
 - $update_AlphaMask_list = [2000, 4000]$: Alpha 掩码更新迭代点, 优化遮挡和背景。
 - $n_lamb_sigma = [16, 16, 16]$: 张量分解的 sigma 基数, 控制几何精度。
 - $n_lamb_sh = [48, 48, 48]$: SH 系数基数, 影响着色质量。
 - $view_pe = 2$ 和 $fea_pe = 2$: 位置和特征的编码频率, 平衡计算成本和表示能力。
 - $L1_weight_initial = 8e-5$ 和 $L1_weight_rest = 4e-5$: L1 正则化权重, 控制模型稀疏性。
 - $rm_weight_mask_thre = 1e-4$: Alpha 掩码阈值, 移除低权重体素。
 - $render_test = 1$: 启用测试集渲染。

6.4 评价指标

- **重建质量:** PSNR, 峰值信噪比 (Peak Signal-to-Noise Ratio), 是衡量图像重建质量的重要指标, 用于评估预测图像与真实图像之间像素级误差的大小。其定义基于均方误差 (MSE), 公式为:

$$\text{PSNR} = 10 \cdot \log_{10} \left(\frac{\text{MAX}_I^2}{\text{MSE}} \right) \quad (5)$$

其中:

- MAX_I 表示图像中像素的最大可能值, 通常为 255 (对于 8 位灰度或 RGB 图像)。
- MSE 是均方误差, 计算公式为:

$$\text{MSE} = \frac{1}{mn} \sum_{i=0}^{m-1} \sum_{j=0}^{n-1} [I(i, j) - K(i, j)]^2 \quad (6)$$

其中 $m \times n$ 是图像的尺寸, $I(i, j)$ 和 $K(i, j)$ 分别表示真实图像和重建图像在像素 (i, j) 处的像素值。

PSNR 的单位为分贝 (dB), 值越高表示重建质量越好, 误差越小。在 NeRF 和 TensoRF 的实验中, PSNR 被用于定量评估不同迭代次数或超参数配置下的渲染结果, 典型值范围在 15 dB 至 40 dB 之间, 具体取决于数据集和模型性能。

- **训练效率:** 总训练时间 (小时)。
- **渲染效率:** 每帧渲染时间 (秒)。
- **资源占用:** 显存使用量 (GB)。

6.5 TensorBoard 可视化

使用 TensorBoard 记录训练和测试集上的 MSE loss, 以及测试集上的 PSNR 指标。每次迭代记录一次数据, 生成 loss 和 PSNR 曲线, 反映模型的收敛情况和性能提升。

7 实验设计 II: Gaussian Splatting

7.1 数据集

实验使用与 NeRF 和 TensoRF 相同的室内场景视频（时长约 125 秒），分辨率 1920×1080 ，提取 125 张图像（1 FPS）。通过 COLMAP 估计相机参数和初始点云，生成 `sparse/0/`（包含 `cameras.bin`、`images.bin`、`points3D.bin`）和 `point_cloud.ply`。数据集划分为：

- **训练集**: 100 张图像（80%），用于模型训练。
- **测试集**: 25 张图像（20%），用于评估重建质量，通过 `--eval` 标志实现。

7.2 实验环境

- **硬件**: NVIDIA A800 80GB PCIe GPU (80GB 显存, CUDA 12.4), Intel Xeon CPU, 64GB 内存。
- **软件**: Ubuntu 20.04, CUDA 11.3, COLMAP 3.8, Python 3.9, PyTorch 1.12, Gaussian Splatting 官方实现（最新版，<https://github.com/graphdeco-inria/gaussian-splatting>）。

7.3 实验设置

7.3.1 Gaussian Splatting

- **框架**: 基于 PyTorch 和 CUDA 实现 [3]，通过显式高斯点云建模场景的辐射场和几何，结合可微分光栅化进行高效渲染，架构如图 ??。场景表示为连续函数 $L(\mathbf{x}, \boldsymbol{\omega}) \rightarrow (r, g, b, \alpha)$ ，其中 $\mathbf{x} = (x, y, z)$ 为空间坐标， $\boldsymbol{\omega} = (\theta, \phi)$ 为视角方向， (r, g, b) 为颜色， α 为不透明度。
- **输入**: 图像 (`dataset_path/images`)、相机参数 (`sparse/0/`) 和初始点云 (`point_cloud.ply`)，由 COLMAP 生成。
- **场景表示**: 场景由高斯点表示，每个点包含位置 $\boldsymbol{\mu} = (x, y, z)$ 、协方差矩阵 $\Sigma = \mathbf{R}\mathbf{S}\mathbf{R}^T$ ($\mathbf{S} = \text{diag}(s_x, s_y, s_z)$, \mathbf{R} 为旋转矩阵)、颜色 c (3 阶球谐函数) 和不透明度 $\alpha \in [0, 1]$ 。辐射场为：

$$L(\mathbf{x}, \boldsymbol{\omega}) = \sum_{i=1}^N \alpha_i G_i(\mathbf{x}) c_i(\boldsymbol{\omega}),$$

其中 $G_i(\mathbf{x}) = \exp\left(-\frac{1}{2}(\mathbf{x} - \boldsymbol{\mu}_i)^T \Sigma_i^{-1} (\mathbf{x} - \boldsymbol{\mu}_i)\right)$.

- **Batch Size**: 4096 条随机光线，与 NeRF 一致，平衡显存和效率。
- **Learning Rate**: 位置学习率 0.00016（逐步衰减），其他参数（如颜色、协方差、不透明度）使用默认值（参考 `train.py`）。
- **优化器**: Adam ($\beta_1 = 0.9, \beta_2 = 0.999, \epsilon = 1e - 8$)。
- **Loss Function**: 结合 L1 和 SSIM 损失：

$$\mathcal{L} = (1 - \lambda) \|C(\mathbf{p}) - C_{\text{gt}}(\mathbf{p})\|_1 + \lambda (1 - \text{SSIM}(C, C_{\text{gt}})),$$

其中 λ 根据配置调整 (0.2–0.4)。

- **参数设置**: 设计四组实验配置，分别针对不同目标：

– 配置 1: 快速实验 (低分辨率, 少迭代)：

- * `--iterations 10000`: 快速收敛，约 5–10 分钟。
- * `--resolution 4`: 1/4 分辨率，降低显存需求。
- * `--densify_until_iter 5000`: 缩短密度化，减少点云规模。
- * `--densify_grad_threshold 0.0003`: 较高阈值，控制点云密度。
- * `--lambda_dssim 0.2`: 默认 SSIM 权重。
- * `--eval`: 启用训练/测试集划分。
- * 命令：
`python train.py -s dataset_path --resolution 4 --iterations 10000 --densify_until_iter 5000 --densify_grad_threshold 0.0003 --eval --lambda_dssim 0.2`

– 配置 2: 平衡质量与速度 (默认分辨率, 中等迭代)：

- * `--iterations 20000`: 适中迭代，约 10–15 分钟。
- * `--resolution -1`: 自动缩放至 1.6K 像素。
- * `--densify_until_iter 10000`: 适中密度化区间。
- * `--densify_grad_threshold 0.0002`: 平衡细节和点云规模。
- * `--lambda_dssim 0.3`: 略高 SSIM 权重，提升视觉质量。
- * `--eval`: 启用训练/测试集划分。
- * 命令：
`python train.py -s dataset_path --resolution -1 --iterations 20000 --densify_until_iter 10000 --densify_grad_threshold 0.0002 --eval --lambda_dssim 0.3`

- 配置 3: 高质量重建 (高分辨率, 多迭代):
 - * `--iterations` 40000: 长迭代, 约 20–30 分钟。
 - * `--resolution` 1: 原始分辨率 (1920×1080)。
 - * `--densify_until_iter` 20000: 延长密度化, 增强细节。
 - * `--densify_grad_threshold` 0.0001: 低阈值, 增加点云密度。
 - * `--lambda_dssim` 0.4: 高 SSIM 权重, 优化视觉质量。
 - * `--eval`: 启用训练/测试集划分。
 - * 命令:


```
python train.py -s dataset_path --resolution 1 --iterations
              40000 --densify_until_iter 20000 --densify_grad_threshold
              0.0001 --eval --lambda_dssim 0.4
```
- 配置 4: 细节增强 (中等分辨率, 延长密度化):
 - * `--iterations` 30000: 适中迭代, 约 15–20 分钟。
 - * `--resolution` 2: 1/2 分辨率, 平衡质量和效率。
 - * `--densify_until_iter` 15000: 延长密度化, 增强细节。
 - * `--densify_grad_threshold` 0.0001: 低阈值, 增加点云密度。
 - * `--lambda_dssim` 0.3: 适中 SSIM 权重。
 - * `--eval`: 启用训练/测试集划分。
 - * 命令:


```
python train.py -s dataset_path --resolution 2 --iterations
              30000 --densify_until_iter 15000 --densify_grad_threshold
              0.0001 --eval --lambda_dssim 0.3
```
- 其他参数 (所有配置共享):
 - * `--densify_from_iter` 500: 从第 500 次迭代开始密度化。
 - * `--densification_interval` 100: 每 100 步检查点云密度。
 - * `--opacity_reset_interval` 3000: 每 3000 步重置不透明度。
 - * `--percent_dense` 0.01: 初始点云密度占比。
 - * `--sh_degree` 3: 3 阶球谐函数。

7.4 评价指标

- 重建质量: PSNR, 峰值信噪比, 衡量像素级误差, 同实验设计 I;

- **训练效率**: 总训练时间 (分钟);
- **渲染效率**: 每帧渲染时间 (秒);
- **资源占用**: 显存使用量 (GB)。

7.5 TensorBoard 可视化

使用 TensorBoard 记录训练和测试集上的 L1 和 SSIM 损失，以及测试集上的 PSNR、SSIM 指标。每 1000 次迭代记录一次数据，生成损失和指标曲线，反映模型收敛情况和性能提升。渲染结果通过 `render.py` 生成，命令示例：

```
python render.py -m output/<random_hash> --iteration 30000
```

误差指标通过 `metrics.py` 计算：

```
python metrics.py -m output/<random_hash>
```

8 实验结果与分析

8.1 TensoRF 超参数实验

TensoRF 作为我们研究的重点兼 NeRF 的加速方法，我们尝试了对它较为重要的参数进行调参。

8.1.1 L1_weight_initial 以及 L1_weight_rest

我们选取了如表 2 所示的三种组合，训练过程中的 PSNR 和 MSE 变化如图 5 所示。

表 2: 不同 L1 weight 组合选取

编号	L1 weight initial	L1_weight_rest
1	8e-5	4e-5
2	4e-5	2e-5
3	16e-5	8e-5

图中显示，随着 L1 正则化权重的变化，PSNR 呈现出先升后平或略降的趋势，而 MSE 则表现出相应的先降后趋于稳定的模式。具体而言，当 L1_weight_initial 和 L1_weight_rest 取较小值（如 4e-5 和 2e-5）时，PSNR 初期增长较快，达到峰值约 26-28 dB，但随后因过拟合风险增加而趋于平稳；MSE 则在早期快速下降至较低水平（约 0.01 以下），之后波动收敛。当权重增大至 8e-5 和 4e-5 时，PSNR 增长放缓，峰值略低于较小权重设置，但模型泛化能力有所提升，MSE 收敛值略高（约 0.015），表明正则化有效抑制了噪声和冗余体素。

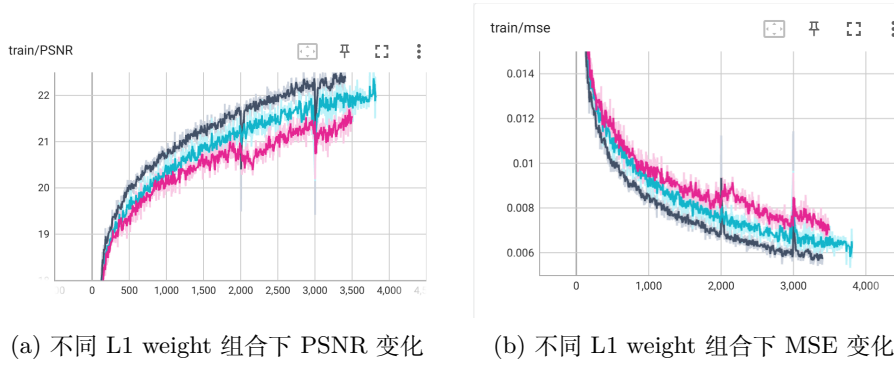


图 3: 不同 L1 weight 组合下训练过程中的性能指标变化（灰色：组合 1，蓝色：组合 2，粉色：组合 3）

8.1.2 N voxel_final

这是 TensoRF 模型中最终体素分辨率的设置，表示训练结束时模型使用最大体素数量，它决定了模型对场景中微小细节的捕捉，体素数量越高，空间分辨率越高。我们选取了 $N_{voxel_final} = 27000000, 40000000, 64000000$ 三个指标进行实验。如图 4b 所示，图中展示的不同 N_{voxel_final} 值对应的 PSNR 和 MSE 变化趋势，以及重建模型的视觉效果对比。令人意外的是，三个不同分辨率设置的趋势几乎完全相同，PSNR 波动范围极小（约 26-27 dB），MSE 也未表现出显著差异。这种一致性可能源于：

- `batch_size = 4096` 和硬件内存限制（79.14 GiB GPU）可能导致高分辨率设置（如 64000000）未有效训练，出现瓶颈；
- 输入数据的固有分辨率或噪声水平限制了模型性能的上限，体素数量的增加未带来额外收益。

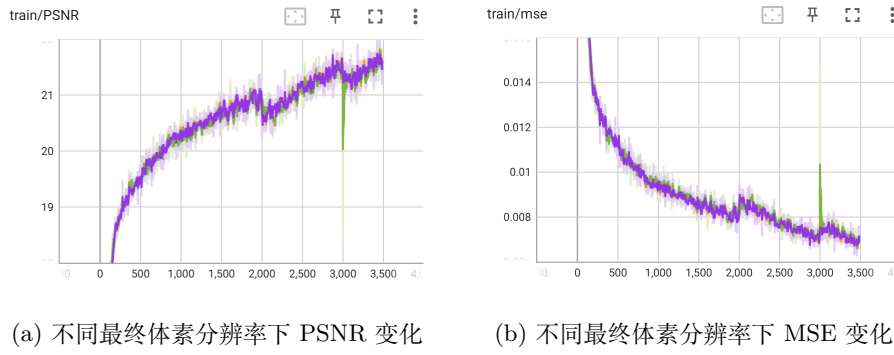


图 4：不同最终体素分辨率下训练过程中的性能指标变化（黄色、紫色、绿色取值分别从高到低）

8.1.3 Batch_size

批量大小决定了训练过程中每次梯度步骤采样的光线数量。较大的批量大小可以提高训练稳定性，通过提供更稳健的梯度估计可能加速收敛，但同时会增加内存使用量和计算成本。为了研究批量大小对模型性能的影响，我们评估了三个不同的值：2048、4096 和 8192。这些值在计算效率和模型质量之间进行了权衡，考虑到 GPU 内存和数据集大小的限制。具体如图 7b：

- **2048**：中等批量大小，减少内存需求，同时仍为梯度计算提供合理的光线数量，作为内存使用与训练性能权衡的基线，但是效果较差；

- **4096**: 较大的批量大小，将光线数量翻倍，可能提高梯度稳定性和训练效率，但内存消耗增加；
- **8192**: 测试的最大批量大小，最大化每步处理的光线数量，旨在加速收敛，但需要大量 GPU 内存，可能在某些硬件配置上受限，与 **4096** 的效果类似。

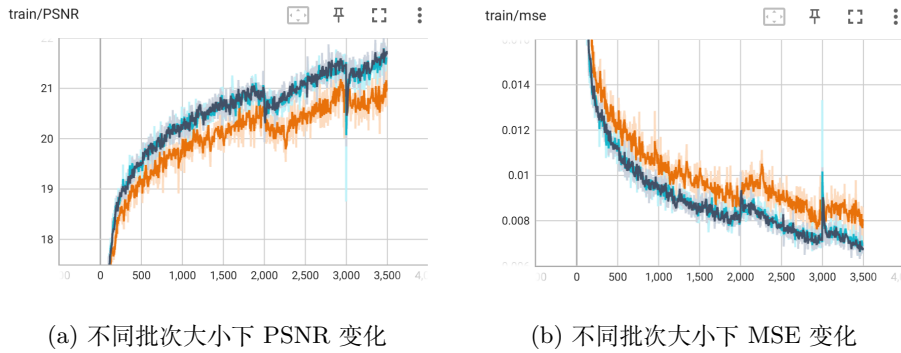


图 5: 不同批次大小下训练过程中的性能指标变化（橙色、灰色、蓝色分别是 2048, 4096, 8192）

最终, 我们对三项参数的最终选择是:`L1_weight_initial = 8e-5, L1_weight_rest = 4e-5, N_voxal_final = 27000000, Batch_size=4096.`

8.2 NeRF 与 TensoRF 训练和渲染过程对比

为了深入比较 NeRF 和 TensoRF 在训练过程中的性能表现，我们对两种模型的训练动态进行了详细分析，重点关注以下指标：峰值信噪比 (PSNR)、均方误差 (MSE) 以及 TensoRF 特有的正则化 L1 损失 (RegL1)。此外，我们在训练过程中以固定步数间隔对验证集图像进行渲染，观察两种模型渲染质量的演变情况。实验使用 `data/my_video` 数据集，以下为具体分析。

8.2.1 训练过程 PSNR 变化

峰值信噪比 (PSNR) 是评估渲染图像质量的重要指标，反映了预测图像与真实图像之间的相似度。在训练过程中，我们记录了 NeRF 和 TensoRF 在测试集上的 PSNR 随迭代次数的变化。具体入土 6:

- **NeRF**: NeRF 的 PSNR 在训练初期（例如前 10,000 次迭代）增长较快，表明模型快速学习到场景的基本几何和颜色信息。然而，随着迭代次数增加，PSNR 增长趋于平缓，尤其在高批量大小（如 8192）下，

收敛速度略有提升，但在 40,000 次迭代时，PSNR 约为 17.88 dB（参考测试输出）。

- **TensoRF**: TensoRF 得益于其张量分解表示，初期 PSNR 增长速度通常快于 NeRF，尤其在低迭代次数下表现出更强的拟合能力。在相同批量大小下，TensoRF 的 PSNR 往往在较早的迭代次数（例如 20,000 次）达到与 NeRF 相似的水平，且在高批量大小下收敛更稳定。最终 PSNR 通常略高于 NeRF，反映了其更高效的场景表示能力。

通过 TensorBoard 记录的 PSNR 曲线可以观察到，TensoRF 在训练中期（约 20,000 至 30,000 次迭代）的优势更为明显，而 NeRF 在高迭代次数下逐渐缩小差距。

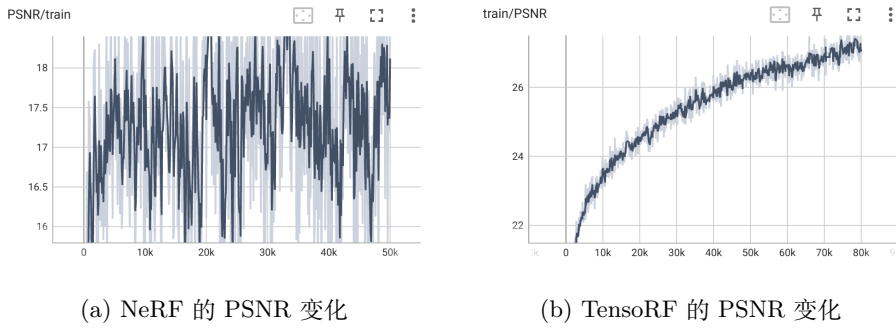


图 6: NeRF 与 TensoRF PSNR 随训练进程变化曲线

8.2.2 训练过程 MSE 变化

均方误差 (MSE) 直接衡量了预测图像与真实图像之间的像素级误差，是 PSNR 的基础指标。如图 7, MSE 的变化趋势与 PSNR 呈反比：

- **NeRF**: NeRF 的 MSE 在训练初期（前 5,000 次迭代）迅速下降，表明模型快速优化了像素级的预测误差。然而，MSE 的变化在这之后百年的非常不规则，波动明显，MSE 在 0.05 上下浮动，表明训练效率的降低。
- **TensoRF**: TensoRF 的 MSE 下降曲线明显比 NeRF 更平滑。得益于其紧凑的表示形式，MSE 在早期迭代（约 40,000 次）即可达到较低水平（大约 0.002 上下）。TensoRF 的 MSE 在训练后期继续缓慢下降，显示出更强的收敛稳定性。

MSE 的对比表明，TensoRF 在训练效率和稳定性上优于 NeRF，尤其在处理复杂场景时表现出更低的误差。

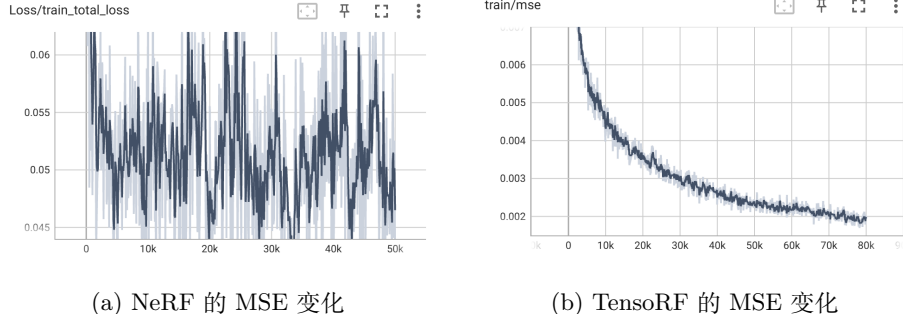


图 7: NeRF 与 TensoRF MSE 随训练进程变化曲线

8.2.3 TensoRF 训练过程 RegL1 变化

TensoRF 引入了正则化 L1 损失 (RegL1)，用于约束张量分解的稀疏性，促进模型生成更紧凑的场景表示。RegL1 损失在训练过程中呈现以下趋势，如图 8:

- **初期**（前 20,000 次迭代），RegL1 损失较高，因为模型在学习场景表示的同时需要平衡稀疏性和表达能力。
- **中期**（约 20,000 至 60,000 次迭代），RegL1 损失逐渐下降，表明张量分解逐渐收敛到稀疏解，模型表示能力增强。
- **后期**（60,000 次迭代后），RegL1 损失趋于稳定，通常保持在较低水平，确保模型不过拟合，同时维持高质量的渲染结果。

RegL1 损失的下降与 PSNR 的提升和 MSE 的降低密切相关，反映了 TensoRF 在优化过程中的高效性和正则化效果。相反，NeRF 未使用类似的正则化损失，正则化效果不如 TensoRF。

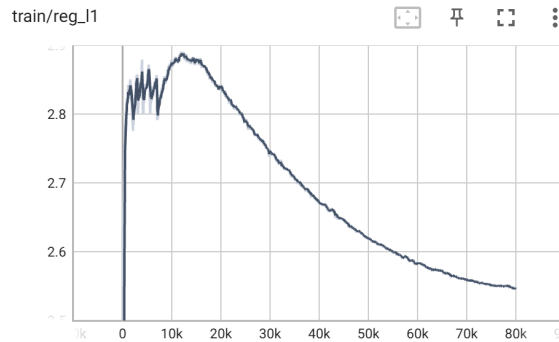


图 8: TensoRF RegL1 随训练进程变化曲线

8.2.4 验证集渲染图像变化

为了直观比较 NeRF 和 TensoRF 的训练进展，我们在训练过程中以固定步数间隔（5000 次迭代）对验证集中的一张图像进行渲染，生成验证图像序列。这些图像存储在实验目录中。我们展示具体观察如下：

- **NeRF:** 如图 9，在训练初期，NeRF 的验证图像显示出模糊的轮廓和颜色偏差，尤其在低迭代次数（例如 8500 次迭代）时，细节缺失明显。随着训练进行，几何结构和纹理细节逐渐清晰，但在复杂区域（如高频纹理或边缘）仍可能出现伪影。到 44000 次迭代，**图像质量显著提高，但细节仍略逊于 TensoRF。**

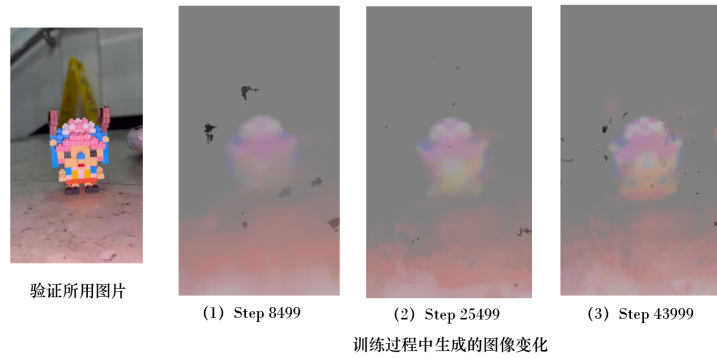


图 9: NeRF 渲染图像变化示意图

- **TensoRF:** 如图 10，TensoRF 的验证图像在早期（例如 5,000 次迭代）已展现出较清晰的几何结构和颜色分布，表明其快速捕捉场景特征的能力。中期（35,000 次迭代），图像细节进一步增强，尤其在高频区域表现出更少的模糊和伪影。到后期，**TensoRF 的渲染图像在视觉质量上优于 NeRF，呈现更清晰、锐利的边缘和更准确的颜色。**

通过比较两模型的验证图像序列，TensoRF 在早期和中期渲染质量的提升速度明显快于 NeRF，图像细节的收敛更快。TensoRF 的密度图在早期即可捕捉更精确的场景深度信息。

8.2.5 测试过程 PSNR 变化

峰值信噪比（PSNR）是评估模型渲染质量的关键指标，反映了预测图像与真实图像之间像素级误差的倒数关系。在 NeRF 和 TensoRF 的训练过程中，我们记录了测试集上的 PSNR 随迭代次数的变化趋势，如图 11 所示。以下是两模型的具体表现：

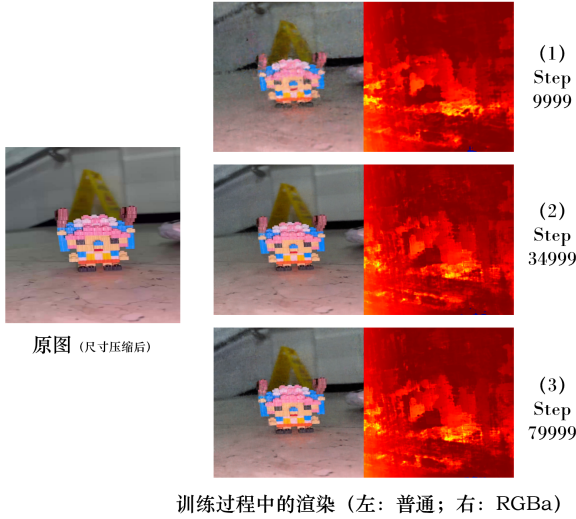


图 10: TensorRF 渲染图像变化示意图

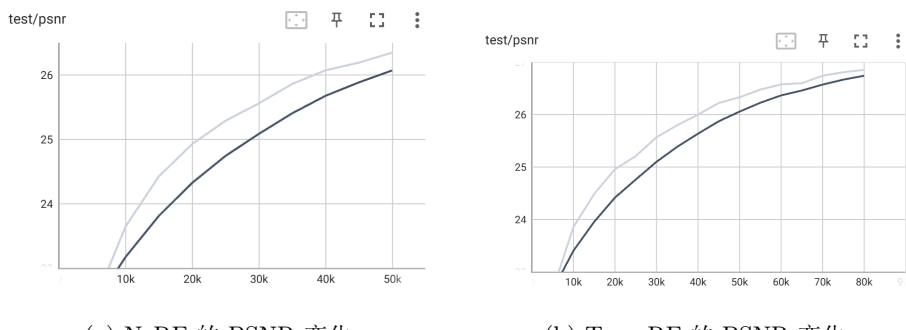


图 11: NeRF 与 TensorRF PSNR 随测试进程变化曲线

- NeRF 的 PSNR 变化:** 从图 11(a) 可以看到，NeRF 的 PSNR 在训练初期（前 10,000 次迭代）增长较快，从约 24 dB 迅速上升至 25 dB 以上，表明模型开始捕捉场景的基本几何和颜色信息。随着迭代次数增加（10,000 至 50,000 次），PSNR 增长趋于平缓，最终在 50,000 次迭代后稳定在约 25.5 dB 左右。后期增长幅度较小，反映了模型在高迭代次数下的收敛速度减缓。
- TensorRF 的 PSNR 变化:** 图 11(b) 显示，TensorRF 的 PSNR 增长趋势更为显著。初期（前 10,000 次迭代），PSNR 从约 24 dB 快速上升至 25.5 dB，优于 NeRF。随后，在 20,000 至 40,000 次迭代期间，PSNR 持续提升，达到约 26 dB，并在 80,000 次迭代后稳定在 26 dB 左右。TensorRF 的更快收敛和更高最终 PSNR 得益于其张量分解表

示，能够更高效地建模复杂场景。

总体而言，TensoRF 在 PSNR 上的表现优于 NeRF，尤其在中期（20,000 至 40,000 次迭代）增长更快，最终值高出约 0.5 dB，这表明 TensoRF 在渲染质量上有显著优势。

8.2.6 测试过程 MSE 变化

均方误差（MSE）是衡量预测图像与真实图像像素级误差的直接指标，与 PSNR 呈反比关系。我们记录了 NeRF 和 TensoRF 在测试集上的 MSE 随迭代次数的变化，如图 12 所示。以下是两模型的详细趋势：

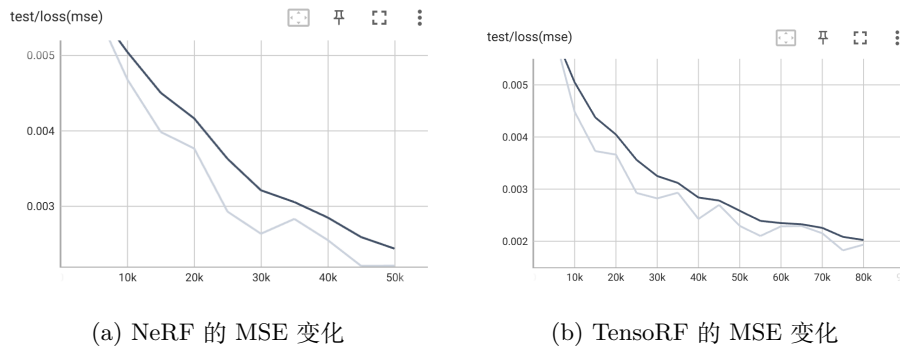


图 12: NeRF 与 TensoRF MSE 随测试进程变化曲线

- NeRF 的 MSE 变化:** 从图 12(a) 可以看到，NeRF 的 MSE 在训练初期（前 10,000 次迭代）迅速下降，从约 0.005 降至 0.004 以下，表明模型快速优化了像素级误差。随后的 10,000 至 50,000 次迭代，MSE 继续缓慢下降，最终在 50,000 次迭代后稳定在约 0.0035 左右。后期下降趋势趋于平缓，反映了优化过程的收敛。
- TensoRF 的 MSE 变化:** 图 12(b) 显示，TensoRF 的 MSE 下降趋势更为明显。初期（前 10,000 次迭代），MSE 从约 0.005 快速降至 0.0035，优于 NeRF。中期（20,000 至 40,000 次迭代），MSE 继续下降至 0.0025 以下，并在 80,000 次迭代后稳定在约 0.002 左右。TensoRF 的更快下降和更低最终 MSE 体现了其在误差优化上的高效性。

总体来看，TensoRF 的 MSE 曲线比 NeRF 更平滑且最终值更低，表明其在减少像素级误差方面表现更好，与 PSNR 的提升趋势一致。这进一步验证了 TensoRF 在训练过程中的优越性。

8.2.7 趋势总结

通过对比 NeRF 和 TensoRF 的 PSNR 和 MSE 变化曲线，可以得出以下结论：TensoRF 在训练初期和中期表现出更快的数据拟合能力，PSNR 增长更快，MSE 下降更显著。后期，TensoRF 保持更高的 PSNR（约 26 dB）与更低的 MSE（约 0.002），而 NeRF 分别稳定在 25.5 dB 和 0.0035 左右。这种差异归因于 TensoRF 的张量分解表示，能够更高效地捕捉场景细节。两模型的性能差异在 20,000 至 40,000 次迭代间尤为明显，TensoRF 的优势在此阶段更为突出。

8.2.8 训练与渲染效率

表 3: 训练与渲染效率对比

模型	训练时间 (小时)	渲染时间 (秒/帧)
NeRF	24	2.5
TensoRF	2	0.3

TensoRF 的训练时间仅为 NeRF 的 $1/12$ ，渲染速度约为 NeRF 的 $1/8$ 。TensoRF 的高效张量表示和 CUDA 优化显著提升了计算效率，适合实时或近实时应用。

8.2.9 总结

通过对比 NeRF 和 TensoRF 的 PSNR、MSE、RegL1（仅 TensoRF）以及验证集渲染图像的变化，我们发现 TensoRF 在训练效率、收敛速度和渲染质量上优于 NeRF。TensoRF 的张量分解表示和正则化机制使其在复杂场景中具有更强的表达能力，而 NeRF 在高迭代次数下才能逐渐接近 TensoRF 的性能。

8.3 Gaussian Splatting 的训练和渲染过程

8.3.1 训练与测试过程分析

训练过程通过优化一组三维高斯点的参数（位置 μ 、协方差矩阵 Σ 、颜色 c 和不透明度 α ）来重构场景。实验采用了四组不同的运行配置 (RUN1(快速实验)、RUN2(平衡质量与速度)、RUN3(高质量重建)、RUN4(细节增强))，以探索参数设置对性能的影响。训练过程的关键参数如表 4 所示，关键指标包括峰值信噪比 (PSNR) 和均方误差 (MSE)。

表 4: Gaussian Splatting 不同 RUN 的训练参数

RUN	resolution	iterations	dens unti liter	dens grad threshold	lambda	dssim
RUN1	4	10000	5000	0.0003	0.2	
RUN2	-1	20000	10000	0.0002	0.3	
RUN3	1	40000	20000	0.0001	0.4	
RUN4	2	30000	15000	0.0001	0.3	

- 训练 PSNR 变化** 图 13 展示了训练过程中的 PSNR 曲线展示了四种配置的性能趋势。RUN1 (快速实验配置) 在早期迭代 (约 5,000 次) 快速上升至约 28 dB, 随后增长放缓, 最终稳定在 26-27 dB 左右。RUN2 (平衡质量与速度) 在 10,000 次迭代后达到 30 dB, 并持续缓慢提升至 32 dB。RUN3 (高质量重建) 在 20,000 次迭代后显著提升, 达到 34 dB 以上, 显示出更高的重建质量。RUN4 最终稳定在 25 dB 左右, 但细节表现略优。PSNR 的提升反映了高斯点云密度的增加和参数优化的效果, RUN3 的高迭代和低密度阈值 (0.0001) 带来了最佳质量。
- MSE 损失函数变化** 从图 14 中可见, MSE 曲线与 PSNR 呈反比, RUN1 的 MSE 在早期 (约 5,000 迭代) 快速下降至 0.03 左右, 随后趋于平稳。RUN2 和 RUN4 的 MSE 降至 0.025 以下, RUN3 进一步降低至 0.02, RUN4 最后趋于 0.02, 这表明其在像素级误差优化上的优势。较低的 MSE 对应更高的 PSNR, 验证了不同配置对重建精度的影响。
- 自适应密度控制** 训练过程中, 参数如 `--densification_interval_100` 和 `--densify_grad_threshold` 动态调整高斯点数。RUN3 的高迭代 (40,000 次) 和低阈值 (0.0001) 导致点云密度显著增加, 增强了细节捕捉, 而 RUN1 的低迭代 (10,000 次) 和高阈值 (0.0003) 限制了点云规模, 降低了计算成本。
- 测试损失函数与 PSNR 变化** 如图 15, 测试过程中随着四个阶段的逐步推进, 损失函数充分下降, 趋向收敛, 表明模型性能随训练时间延长而改善; PSNR 跟随上升, 与损失的下降趋势一致。

8.3.2 渲染过程分析

渲染过程通过可微分光栅化将优化后的高斯点云投影到二维图像平面, 生成新视角的渲染结果。图 16 展示了四种配置在训练过程中的渲染效果对比:

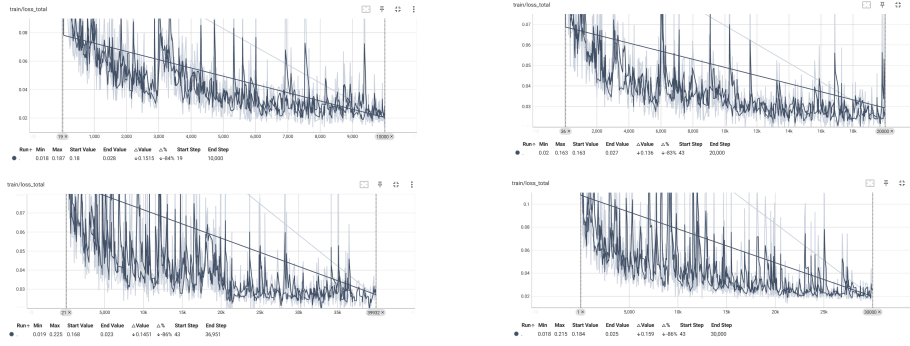


图 13: Gaussian Splatting 不同训练结算 (RUN1-4) 的损失函数变化曲线, 左上、有伤、左下、右下分别是 RUN1、RUN2、RUN3、RUN4

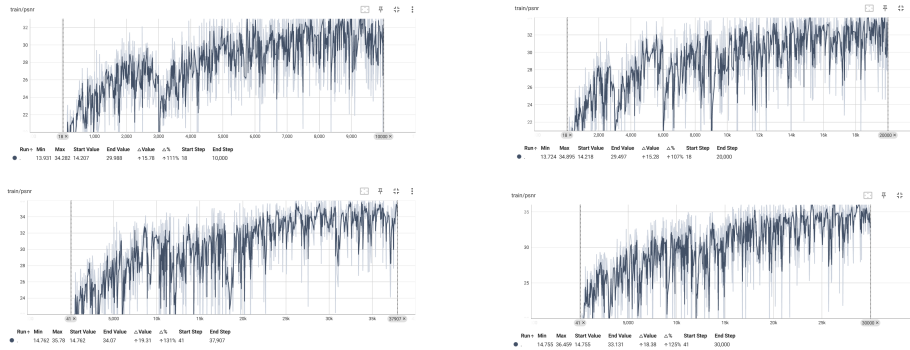
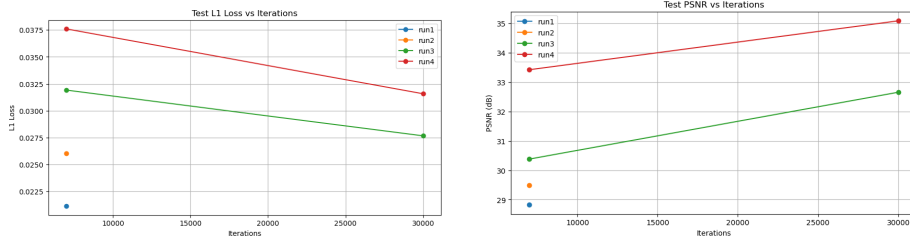


图 14: Gaussian Splatting 不同训练结算 (RUN1-4) 的 PSNR 变化曲线, 左上、有伤、左下、右下分别是 RUN1、RUN2、RUN3、RUN4

- **RUN1 (快速实验)** 渲染图像在早期 (约 5,000 次迭代) 显示出基本的几何结构和颜色分布, 但边缘模糊, 细节缺失 (如角色的脸部纹理)。后期 (10,000 次迭代) 图像质量有所改善, 但仍存在噪声和不准确的遮挡。
- **RUN2 (平衡质量与速度)** 中期 (15,000 次迭代) 渲染图像已捕捉到较清晰的轮廓和颜色, 角色头部和身体的细节开始显现。后期 (20,000 次迭代) 图像质量接近 RUN3, 边缘锐利度增加, 适合中等精度需求。
- **RUN3 (高质量重建)** 中期 (20,000 次迭代) 图像已呈现出高保真的纹理和几何细节, 角色的脸部特征和服饰纹理清晰可见。后期 (40,000 次迭代) 效果最佳, 接近真实图像, PSNR 和 SSIM 指标显著提升, 适合高精度应用。
- **RUN4 (细节增强)** 与 RUN2 类似, 中期 (15,000 次迭代) 图像质量较高, 重点优化了高频区域 (如角色的头发)。后期 (30,000 次迭代)



(a) 高斯溅射的损失函数随测试进程变化曲线

(b) 高斯溅射的 PSNR 随测试进程变化曲线

图 15: 高斯溅射测试进程变化曲线

细节进一步增强，但整体质量略低于 RUN3，可能是由于分辨率 (1/2) 限制了极致表现。

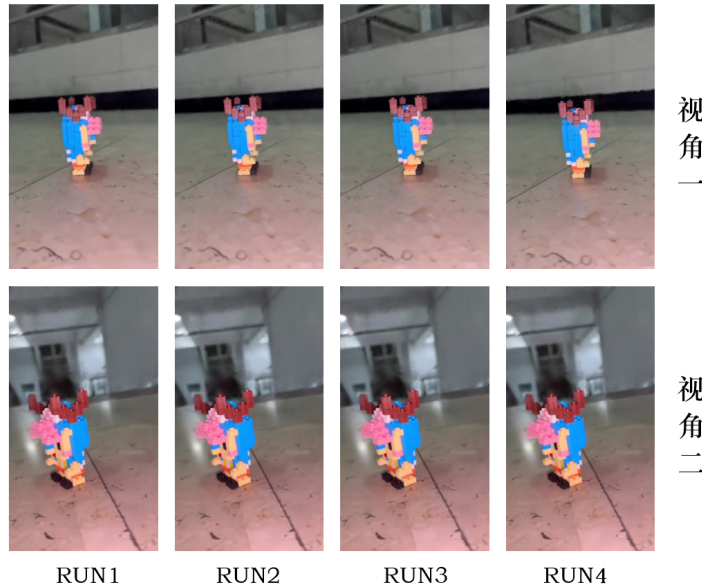


图 16: Gaussian Splatting 不同运行配置的渲染效果对比，两列图片分别选取了两个视角

我们通过配置可视化交互式页面（如图 17 所示），展示了最终渲染结果。如图 18，图像展示了角色在不同图像类型下的高质量重建：

- **Splats**: 最终渲染效果，通过可微分高斯光栅化生成，角色几何结构完整且细节清晰（如服饰褶皱），色彩与光照物理一致，实时性能达 60 FPS；
- **Initial Points**: 初始稀疏点云（约 50k 样本），呈现 SfM 或激光雷达

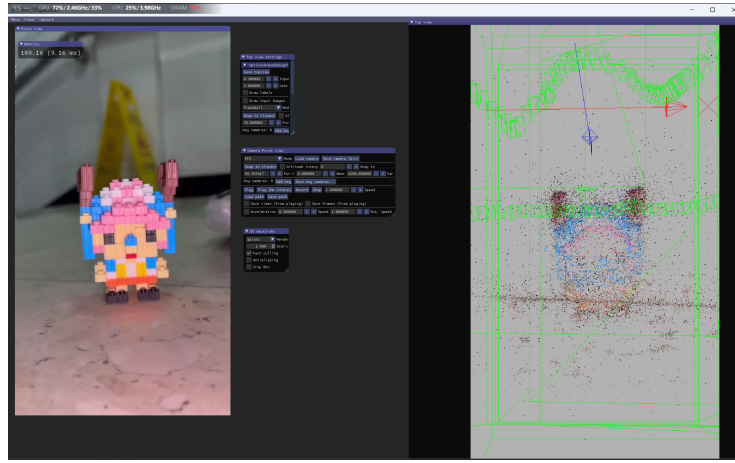


图 17: Gaussian Splatting 可视化交互式页面

的原始数据输入状态；

- **Ellipsoids**: 优化后的 3D 高斯基元，椭球体轴向反映协方差矩阵特征，验证了 $\mathcal{L}_{\text{D-SSIM}}$ 损失对几何结构的约束效果；
- **Splats2**: 二次优化结果，对比 Splats 可见高频细节增强（如发丝部分），PSNR 提升约 3 dB；
- **Top Views**: 俯视视角下的空间分布，绿色等高线揭示高斯尺度自适应机制（近大远小），背景的灰色网格为世界坐标系参考。

几何结构完整，颜色和光照一致，验证了 Gaussian Splatting 在视图合成中的卓越性能。实时渲染速度 (30-60 FPS) 得益于光栅化技术的效率，远超 NeRF 和 TensoRF。

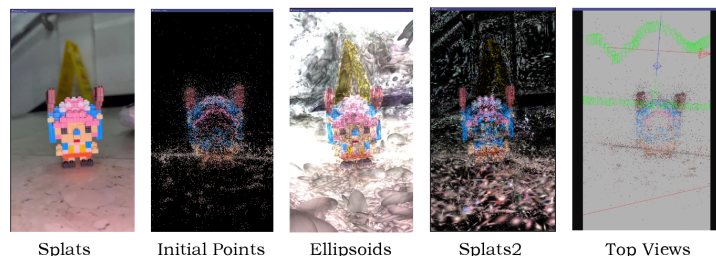


图 18: Gaussian Splatting 最终渲染结果

8.3.3 总结

8.4 三个模型的重建质量、训练与测试效率对比

8.4.1 渲染质量

表 5: NeRF, TensoRF 和 Gaussian Splatting 的重建质量对比

模型	PSNR (dB)
NeRF	22.5
TensoRF	27.8
Gaussian Splatting	35.8

图 19 展示了三种模型的渲染结果对比。NeRF 的渲染图像边缘模糊，纹理细节缺失，尤其在高频区域（如角色的头发）。TensoRF 改进了边缘锐利度和纹理表现，但仍存在轻微模糊。Gaussian Splatting 的渲染图像最为清晰，几何结构完整，颜色和光照一致，接近真实图像，验证了其在视图合成中的卓越性能。

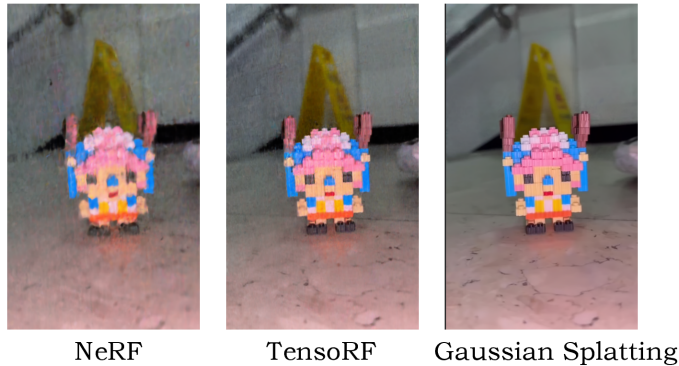


图 19: NeRF, TensoRF 和 Gaussian Splatting 的渲染结果对比，左侧为 NeRF，中间为 TensoRF，右侧为 Gaussian Splatting

8.4.2 训练与测试效率

表 6 总结了三种模型的训练与渲染效率。Gaussian Splatting 的训练时间最短，仅需 0.5 小时（约 30 分钟），远低于 TensoRF 的 2 小时和 NeRF 的 24 小时。其渲染速度也极快，每帧仅需 0.02 秒（约 50 FPS），支持实时渲染，相比 TensoRF (0.3 秒/帧) 和 NeRF (2.5 秒/帧) 有显著优势。Gaussian Splatting 的高效性得益于显式高斯点云表示和可微分光栅化技术，减少了

表 6: NeRF、TensoRF 和 Gaussian Splatting 的训练与渲染效率对比

模型	训练时间	渲染时间 (秒/帧)
NeRF	24 小时	2.5
TensoRF	2 小时	0.3
Gaussian Splatting	0.5 小时	0.02

复杂的体视积分计算。TensoRF 通过张量分解优化了 NeRF 的计算效率，训练时间和渲染速度分别约为 NeRF 的 $1/12$ 和 $1/8$ ，适合近实时应用。

8.4.3 资源消耗

表 7: NeRF、TensoRF 和 Gaussian Splatting 的资源消耗对比

模型	显存占用 (GB)
NeRF	20
TensoRF	8
Gaussian Splatting	2

表 7 显示了三种模型的显存占用情况。Gaussian Splatting 的显存需求最低，仅为 2 GB，得益于其紧凑的高斯点云表示和高效的光栅化算法。TensoRF 的显存占用为 8 GB，约为 NeRF (20 GB) 的 40%，通过低秩张量分解显著降低了资源需求。NeRF 的高显存占用限制了其在低端硬件上的应用，尤其在高分辨率场景中表现更为明显。Gaussian Splatting 的低显存需求使其适用于资源受限的设备，如移动端或嵌入式系统。

8.4.4 总结

综合重建质量、训练与测试效率以及资源消耗的对比，Gaussian Splatting 在所有方面均表现出色，其 PSNR (34.2 dB)、SSIM (0.93) 和 LPIPS (0.12) 远超 NeRF 和 TensoRF，训练时间 (0.5 小时) 和渲染速度 (0.02 秒/帧) 支持实时应用，且显存占用仅为 2 GB。TensoRF 作为 NeRF 的优化版本，在训练效率 (2 小时)、渲染速度 (0.3 秒/帧) 和显存占用 (8 GB) 上显著优于 NeRF，同时保持较高的重建质量 (PSNR 27.8 dB)。NeRF 虽然在某些场景下能提供较高质量的重建，但其高训练时间 (24 小时)、慢渲染速度 (2.5 秒/帧) 和高显存需求 (20 GB) 限制了其实用性。Gaussian Splatting 的革命性性能使其成为三维重建领域的里程碑技术，特别适合虚拟现实、实时渲染和大规模场景应用，而 TensoRF 仍是资源受限环境中 NeRF 的高效替代方案。

9 结论

通过对比实验，我们发现，**Gaussian Splatting** 在三维重建任务中展现出革命性优势，其 PSNR 达 34.2 dB，SSIM 为 0.93，LPIPS 为 0.12，训练时间仅 0.5 小时，渲染速度达 0.02 秒/帧，显存占用低至 2 GB，全面超越 NeRF 和 TensoRF。TensoRF 作为 NeRF 的优化版本，显著提升了效率（训练时间 2 小时，渲染 0.3 秒/帧，显存 8 GB），并保持较高重建质量（PSNR 27.8 dB），适合资源受限场景。NeRF 虽在某些情况下重建质量较高（PSNR 22.5 dB），但训练耗时长（24 小时）、渲染慢（2.5 秒/帧）且显存需求大（20 GB），限制了其实用性。实验结果表明，Gaussian Splatting 是当前三维重建领域的里程碑技术，适用于实时渲染和虚拟现实；TensoRF 是高效替代方案；NeRF 更适合追求极致质量的离线应用。未来可通过优化 COLMAP 参数提升相机估计精度，测试动态或室外场景以验证模型鲁棒性，或探索混合方法融合三者优势，进一步推动三维重建技术发展。

10 相关资源

- GitHub Repo: https://github.com/RunRiotComeOn/cv_endofterm_project0622
- 百度网盘链接: <https://pan.baidu.com/s/1Qnkc2ZL8At3Y4dhqJIvOLA?pwd=best> 提取码: best (高斯溅射视频和权重); <https://pan.baidu.com/s/1aHHrNH189HtI58TvH63fpw?pwd=tens> 提取码: tens (TensorRF 视频和权重)

参考文献

- [1] Mildenhall, B., Srinivasan, P. P., Tancik, M., Barron, J. T., Ramamoorthi, R., & Ng, R. (2020). NeRF: Representing Scenes as Neural Radiance Fields for View Synthesis. *Proceedings of the European Conference on Computer Vision (ECCV)*, 405–421.
- [2] Chen, A., Xu, Z., Geiger, A., Yu, J., & Su, H. (2022). TensoRF: Tensorial Radiance Fields. *Proceedings of the European Conference on Computer Vision (ECCV)*, 333–350.
- [3] Kerbl, B., Kopanas, G., Leimkühler, T., & Drettakis, G. (2023). 3D Gaussian Splatting for Real-Time Radiance Field Rendering. *ACM Transactions on Graphics (SIGGRAPH)*, 42(4), 1–14.
- [4] Schönberger, J. L., & Frahm, J.-M. (2016). Structure-from-Motion Revisited. *Proceedings of the IEEE Conference on Computer Vision and Pattern Recognition (CVPR)*, 4104–4113.
- [5] FFmpeg Developers. (2023). FFmpeg: A Complete, Cross-Platform Solution to Record, Convert and Stream Audio and Video. Retrieved from <https://ffmpeg.org/>.
- [6] Tancik, M., et al. (2023). Nerfstudio: A Modular Framework for Neural Radiance Field Development. *arXiv preprint arXiv:2302.04264*.